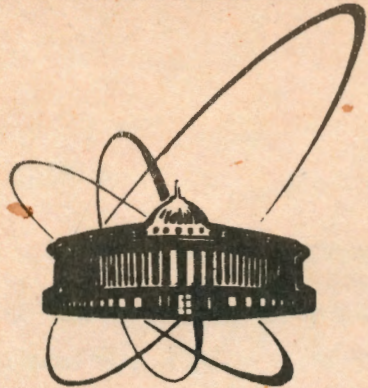


92-152



ОБЪЕДИНЕННЫЙ  
ИНСТИТУТ  
ЯДЕРНЫХ  
ИССЛЕДОВАНИЙ  
дубна

P4-92-152

С.И.Виницкий, И.В.Пузынин, Т.П.Пузынина

ПРОСТОЕ ЭФФЕКТИВНОЕ АДИАБАТИЧЕСКОЕ  
ПРЕДСТАВЛЕНИЕ В ЗАДАЧЕ ТРЕХ ТЕЛ  
И МОДЕЛИРОВАНИЕ ПЕРЕХОДА  
КВАЗИСТАЦИОНАРНОГО СОСТОЯНИЯ  
В СЛАБОСВЯЗАННОЕ ДЛЯ  $d\mu$ -МЕЗОМОЛЕКУЛЫ

Направлено в журнал "Ядерная физика"

1992

## I. Введение.

Одним из важных результатов в теории мюонного катализа является численное предсказание существования слабосвязанного состояния мезомолекулы  $d\mu$ . Это предсказание предшествовало адиабатическим расчетам уровней энергии мезомолекул<sup>/1/</sup> и было основано на развитой ранее вычислительной схеме расчета характеристик связанных и квазистационарных состояний трехчастичных систем<sup>/2/</sup>.

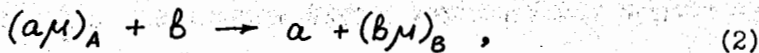
В данной работе мы воспроизводим не опубликованные до сих пор результаты, полученные в 1975 году, связывая их с новой трактовкой эффективного двухуровневого адиабатического приближения в геометрических терминах расслоенных гильбертовых пространств<sup>/3-5/</sup>. Это обстоятельство дает возможность выявить источник различия между вариационными и адиабатическими расчетами<sup>/6/</sup> и согласовать их.

## 2. Эффективный адиабатический подход

В эффективном адиабатическом подходе задача рассеяния с закрытыми каналами описывается системой радиальных уравнений Шредингера на полуоси  $0 \leq R < \infty$  :

$$\left\{ 5M \tilde{\mu}'(R) \frac{d^2}{dR^2} - \Im M \left( 2\tilde{Q}(R, M) \frac{d}{dR} + \tilde{V}(R, M) \right) + \tilde{p}^2 \right\} \tilde{X}(R, \tilde{p}) = 0. \quad (I)$$

Здесь  $\tilde{p}^2 = 2M\varepsilon$  - матрица импульсов,  $\tilde{Q}(R, M)$  и  $\tilde{V}(R, M)$  - новые адиабатические потенциалы,  $5M = M/M$  - матрица поправок, учитывающая различие между якобиевскими  $M$  и адиабатической  $M$  массами в каждом входном и выходном канале реакции,  $a, b = t, d, p$  :



Объединенный институт  
научных исследований  
БИБЛИОТЕКА

$\mu(R)$  - эффективная масса, зависящая от расстояния  $R$ , удовлетворяющая асимптотическому соотношению

$$\delta M \cdot \mu^{-1}(R) \Big|_{R \rightarrow \infty} = 1. \quad (3)$$

Формирование эффективной массы  $\mu(R)$  и новых эффективных потенциалов  $\tilde{Q}(R, M)$  и  $\tilde{V}(R, M)$ :

$$\begin{aligned} \mu^{-1}(R) &= 1 + (2M)^{-1} \Delta \mu^{-1}(R), \quad \tilde{Q}(R, M) = Q(R) + (2M)^{-1} \Delta Q(R), \\ \tilde{V}(R, M) &= V(R, M) + (2M)^{-1} \Delta V(R), \end{aligned} \quad (4)$$

позволяет учесть адиабатические поправки  $O(2M)^{-2} \sim 0.01$  к стандартному двухуровневому приближению, определяемому исходными адиабатическими потенциалами  $Q(R)$  и  $V(R, M)$  с точностью  $O(2M)^{-1} \sim 0.1^{1/3}$ . Таким образом, эффективный адиабатический подход дает возможность уменьшить погрешность обычного адиабатического приближения до  $O(2M)^{-3} \sim 0.001$ , не увеличивая число  $N$  уравнений (1), реально соответствующее числу  $N_0$  открытых каналов реакции (2). Этого можно достичь различными способами. Один из них, так называемый простой подход<sup>7/</sup>, связан с заменой эффективных потенциалов (4) исходными и выполнением асимптотического соотношения (3) на всей полуоси  $0 \leq R < \infty$ , т.е. заменой  $\mu^{-1}(R)$  его асимптотическим значением  $\lim_{R \rightarrow \infty} \mu(R) = \delta M$ .

### 3. Переход квазистационарного состояния $d\mu$ в связанное

По сути дела последняя процедура использовалась ранее при анализе зависимости энергии  $E$  и ширины  $\Gamma$  квазистационарного состояния ( $J=1, v=1$ ) мезомолекулы  $d\mu$  и моделировании перехода этого состояния при увеличении массы  $M$  в соответствующее связанное. Особенности этой процедуры на примере перехода квазистационарного состояния мезомолекулы  $d\mu$  с полным орбитальным моментом  $J=2$  в связанное были представлены в цитируемой выше работе<sup>2/</sup>.

В обычном адиабатическом подходе мезомолекуле  $d\mu$  соответствует значение приведенной массы ядер  $M=10.894$  (в единицах приведен-

ной массы мюона  $m^* = 202.024 m_e$ ). Для этой массы  $M$  было найдено квазистационарное состояние с энергией  $E=E=0.68$  эВ и шириной  $\Gamma=10.87$  эВ. На рис. I изображены соответствующие радиальные волновые функции  $X_1^{(1)}$  открытого и  $X_2^{(1)}$  закрытого каналов упругого рассеяния

$$(d\mu)_{n=1} + d \rightarrow (d\mu)_{n=1} + d. \quad (2a)$$

На рис. 2 показано изменение энергии  $E$  и ширины  $\Gamma$  при увеличении массы  $M$ . При значении массы  $M=11.01$  получается состояние с нулевыми энергией  $E=0$  и шириной  $\Gamma=0$ . Соответствующие радиальные функции представлены на рис. 3. Видно, что функция 1 - открытого канала  $X_1^{(1)}$  затухает значительно медленнее, чем функция  $X_2^{(1)}$  2-закрытого канала. При дальнейшем увеличении массы  $M$  (см. рис. 2)  $d\mu$ -система переходит в связанное состояние, уровень энергии углубляется и при значении  $M=11.12$  приобретает "симметричное" значение энергии  $E=-0.68$  эВ. Отсюда следует, что при более аккуратном учете неадиабатических поправок  $O(2M)^{-2}$  в соответствии с (4) можно

ожидать существование слабосвязанного состояния ( $J=1, v=1$ ) мезомолекулы  $d\mu$  с энергией, близкой к указанной. На самом деле вариационные расчеты дают близкое значение энергии  $E=-0.66$  эВ<sup>8/</sup>, что отвечает в рассмотренном выше простом эффективном адиабатическом подходе массе  $M=11.11$ . Соответствующие радиальные функции этого слабосвязанного состояния представлены на рис. 4, который демонстрирует теперь реальное затухание функции  $X_1^{(1)}$  на фоне быстрого затухания функции  $X_2^{(1)}$ , учитывающей изотопический эффект  $O(2M)^{-1}$ . Данный рисунок можно сравнить с графиком недавнего вариационного расчета<sup>9/</sup>. В отличие от вариационной функции адиабатическая имеет правильное асимптотическое поведение при  $R \rightarrow \infty$ . Выполненные расчеты показывают, что изменение адиабатической массы  $\Delta M$  на  $\sim 1\%$  эквивалентно включению  $\sim 1000$  адиабатических состояний<sup>10/</sup>, причем изменению энергии  $\Delta E$  на  $\sim 3\%$  отвечает изменение массы  $\Delta M$  на  $\sim 0.1\% = O(2M)^{-3}$ .

#### 4. Поправки в эффективном адиабатическом подходе

Как известно, обычный адиабатический подход с какой-либо медленной переменной  $X \in B$  сводит исходную многомерную задачу к системе обыкновенных дифференциальных уравнений для коэффициентов  $X = \{X_i^{(v)}(x, p)\}$ ,  $i = 1, \dots, N$ ,  $v = 1, \dots, N_0$ :

$$\left\{ - (I \otimes d_x + A(x))^2 + U(x) - p^2 \right\} X(x, p) = 0 \quad (5)$$

с индуцированным векторным полем  $A(x)$ :  $A_{ij}(x) = \langle i | d_x | j \rangle$ ,  $i, j \in F_x$ . В действительности только первые несколько уравнений  $i = 1, \dots, N_0$  соответствуют  $N_0$ -открытым каналам реакции (2), хотя в расчетах необходимо использовать существенно большее число уравнений  $N \gg N_0$ , например, /II,12/. Новый адиабатический подход приводит к эффективной системе уравнений

$$\left\{ - (I \otimes d_x + A(x))^2 + m(x)(U(x) - p^2) + (d_x A(x) + A^2(x)) \right\} \Psi(x, \tilde{p}) = 0 \quad (6)$$

для новых коэффициентов  $\Psi_i^{(v)}(x, \tilde{p})$ ,  $i = 1, \dots, N_0$ , связанных с исходными каноническим преобразованием  $T = T_x$ :  $x \rightarrow \Psi$  /3/.

Заметим, что  $\text{diag } A(x) = 1/2 d_x (\ln m^{-1}(x))$  нового оператора связности  $A(x)$  согласована с эффективной метрикой  $m^{-1}(x)$  на базе  $B$ :

$$m_{ii}^{-1}(x) = \sum_{j \neq i} A_{ij}(x) A_{ji}(x) (U_i(x) - U_j(x))^{-1} \quad (7)$$

Принципиальный момент состоит в том, что предлагаемый подход дает правильную вероятностную интерпретацию всех наблюдаемых величин: координаты, импульса,  $S$ -матрицы и т.д. Его можно сравнить с известным представлением Фолди-Воутхузена для уравнения Дирака во внешнем поле  $A(x)$  /13/. Представление (6), (7) дает правильную геометрическую интерпретацию эффективных уравнений (I) в терминах расслоенных гильбертовых пространств  $\mathcal{H}(F_x, \pi, B)$  /4/.

В качестве примера проанализируем систему  $ppm$  с нулевым орбитальным моментом  $J = 0$ . На рис. 5 и 6 изображены диагональные эффективная масса  $\bar{m}^1(x)$  и потенциалы  $V(x)$  и  $U(x)$ . В соответствии с обозначениями уравнения (I) здесь приняты следующие переобозначения  $X = R$ ,  $\bar{m}_{11}^1(x) = \bar{\mu}_{11}^1(R)$ ,  $V_{11}(x) = \tilde{V}_{11}(R, M)$ ,  $U_{11}(x) = V_{11}(R, M)$ . Отличие между  $\bar{\mu}_{11}^1(R)$  и правильным асимптотическим значением

$$\bar{\mu}(\infty) = 1 - (2M)^{-1} \cdot \frac{1}{2} = 0.95 \quad (8)$$

составляет  $\sim 5\%$  на всем интервале изменения  $R \in B = R_+^1$ . Эффективный потенциал  $\tilde{V}_{11}(R, M)$  глубже исходного  $V_{11}(R, M)$  всего на  $\sim 0.05\%$ , а в остальном практически совпадает с ним. Соответствующее ( $N_0 = 1$ ) уравнение (I) дает энергию связи  $-\mathcal{E} = 253.0$  эВ, совпадающую с результатами стандартного  $N \gg N_0$ -адиабатического приближения типа (5) со стандартной базой  $R \in B = R_+^1$  /3/. Можно ожидать, что замена эффективной массы  $M\mu(R)$  ее асимптотическим значением  $M\mu(\infty) = M$ , а эффективного потенциала  $\tilde{V}_{11}$  исходным  $V_{11}$ , т.е. так называемый простой подход

$$\left\{ \frac{d^2}{dR^2} - 5M(2Q(R)\frac{d}{dR} + V(R, M)) + \tilde{p}^2 \right\} X(R, \tilde{p}) = 0 \quad (Ia)$$

обеспечит неплохое нулевое приближение  $\hat{X}$  при  $\mathcal{E} = \tilde{p}^2/2M$ .

Действительно, простой подход для  $ppm$  приводит к энергии связи  $-\mathcal{E} = 252.5$  эВ /7/. Этот результат лучше, чем в стандартном двухуровневом приближении 247.8 эВ и достаточно близок к 253.0 эВ, полученному в "полном"  $N \gg N_0 = 1$  адиабатическом расчете. Однако известно, что сечения упругого рассеяния  $\bar{\sigma}_{11} = 0.66 \cdot 10^{-21} \text{ см}^2$  процессы  $pp(n) + p \rightarrow ppm(n) + p$  при энергии столкновения  $E = 0.04$  эВ изменяются на три порядка при изменении исходной массы  $M = 4.940$  (в единицах  $e = \hbar = m_a = 1$ ) в пределах 10%. В частности, уже в простом подходе с массой  $M \rightarrow M_a = 5.203$  упругое сечение  $\bar{\sigma}_{11}$  равно  $35 \cdot 10^{-21} \text{ см}^2$  /7/, что достаточно близко к величине  $41 \cdot 10^{-21} \text{ см}^2$ , полученной в "полном" ( $N \gg N_0 = 1$ ) адиабатическом расчете, с учетом кинематической связи каналов /II,12/. Отметим, что "полный" адиабатический

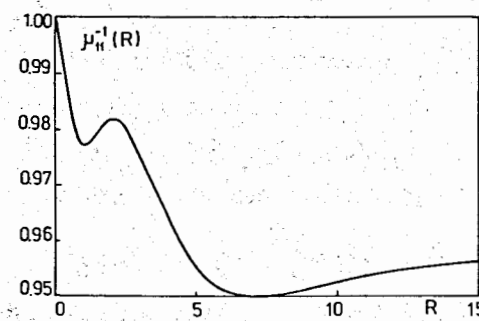


Рис.5. Эффективная масса  $\mu^{-1}(R)$  мезомолекулы  $p-p\mu$  ( $J=0$ )

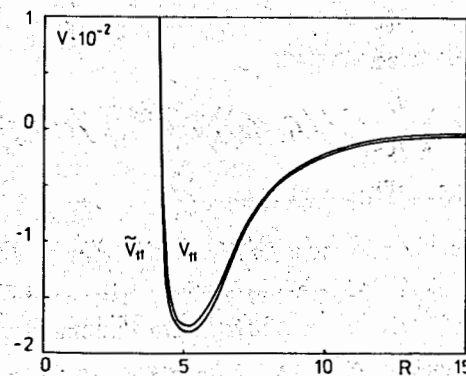


Рис.6. Эффективный  $\tilde{V}$  и адиабатический  $V$  потенциалы мезомолекулы  $p-p\mu$  ( $J=0$ ).

расчет включает  $\sim 52$  состояния дискретного ( $D$ ) и  $\sim 300$  состояний непрерывного ( $N$ ) спектров задачи двух центров. Известно, что  $\sim 56\%$  от асимптотического значения  $1/2$ , которое дает правило сумм Томаса-Рейхе-Куна

$$4 \sum_{j \neq i} q_j^z q_i^z (E_i^z - E_j^z)^{-1} = \sum_j \langle i | \partial_z | j \rangle \langle j | z | i \rangle = \frac{1}{2} \quad (9)$$

в приведенную массу (8), приходится на долю  $D$ -состояний и  $\sim 44\%$  – на долю  $N$ -состояний задачи двух центров. Как следует из асимптотик матричных элементов  $D$ -спектра, асимптотическое значение  $\sim 0.28$  насыщается с точностью  $\sim 7\%$  при учете первых четырех оболочек ( $n=4$ ) разъединенного атома. Однако остаток  $\sim 0.22$   $N$ -спектра насыщается локально, т.е. необходимое число состояний  $N$ -спектра задачи двух центров растет с ростом  $R$  в соответствии с очевидным соотношением  $\ell = kR$ , что видно, например, на рис.5. При фиксированном числе базисных функций  $\sim 352$  их достаточно для насыщения правила сумм типа (9) в области действия эффективного потенциала  $\tilde{V}(R, M)$ :  $4 \leq R \leq 12 \approx R_0$  (см. рис.6), но недостаточно для насыщения в асимптотической области  $R_0 < R_m < R < \infty$ . Теперь становится ясным смысл процедуры перехода от  $P^2$  к  $\tilde{P}^2 = \mu(\infty) P^2$ , которая обеспечивает хорошее приближение для  $S$ -матрицы рассеяния и позволяет избежать зависимости эффективной массы  $\mu(R)$  и соответственно эффективного импульса  $\tilde{p}$  от точки ошибки  $R=R_m$ , в локально полном адиабатическом базисе.

При формировании граничных условий для системы  $N$ -адиабатических уравнений на интервале  $0 \leq R \leq R_m$  в стандартном адиабатическом базисе с помощью известных асимптотик в точке ошибки  $R=R_m$  для каждого  $i = \overline{1, N}$  канала вместо точных значений вибрационной  $\mu(\infty)$  и ротационной массы  $\nu(\infty)$  можно использовать также их приближенные значения на границе  $R_0 \leq R \leq R_m$  области действия эффективного потенциала, т.е. /3/

$$\mu_{ii}^{-1} = \delta_{ij} - \left( \begin{matrix} M a^2 & 0 \\ 0 & M \bar{\gamma} b^2 \end{matrix} \right) \cdot 8 \sum_{j \neq i} \frac{q_j^z q_{ji}^z}{E_i^z - E_j^z} \quad (10)$$

$$\gamma_{ii}^{-1} = \delta_{ij} + \begin{pmatrix} Ma^2 & 0 \\ 0 & M\gamma^{-1}b^2 \end{pmatrix} \sum_{j \neq i}^N \frac{\langle i|p+j\rangle \langle j|p-i\rangle}{E_i - E_j}$$

Тогда необходимо учесть вклад от соответствующего эффективного потенциала  $\Delta V(R, M)$  на интервале  $R_0 < R < \infty$  с помощью теории возмущений или какой-либо иной итерационно-вариационной процедуры, обеспечивающей односторонние оценки для  $S$ -матрицы реакции<sup>[14]</sup>. На самом деле подстановка приближенных значений эффективных масс в точке сшивки  $R = R_m$  использовалась в работе<sup>[II]</sup>, а в точке  $R = R_0 < R_m$  в работе<sup>[I2]</sup>. Последний выбор оказывается практически более удобным, поскольку позволяет избежать зависимости от точки сшивки  $R_m$ , которая сдвигается в сторону больших  $R$  при уменьшении  $\tilde{P}_i^2$ . Поведение упругого сечения  $\rho\mu(1t) + p \rightarrow \rho\mu(1t) + p$ , вычисленное с учетом и без учета соответствующей эффективной поправки  $\Delta V(R, M)$  в работе<sup>[I2]</sup>, позволяет убедиться в том, что свойство локальной полноты адиабатического базиса, как части геометрической конструкции соответствующего гильбертова расслоения  $\mathcal{H}(F_x, \pi, B)$ , необходимо учитывать в практических расчетах при конечном числе состояний  $N = N(R_0)$ .

Свойство локальной полноты состояний непрерывного спектра задачи двух центров следует учитывать и при расчете слабосвязанных состояний подобных  $d\mu$  и  $d\bar{\mu}$  мезомолекул, для которых уже простой подход дает неплохие оценки связи 2.3 эВ и 0.58 эВ соответственно<sup>[7]</sup>. Отметим, что для таких состояний область действия эффективного потенциала за счет включения центробежного потенциала увеличивается по сравнению с состояниями с нулевым орбитальным моментом. В качестве примера укажем величины средних расстояний ~10 м.а.е. в мезомолекулах  $d\mu$  и  $d\bar{\mu}$ . Поэтому описанную выше процедуру, позволяющую уточнять асимптотическое поведение эффективных потенциалов  $\tilde{V}(R, M)$  на интервале  $R_0 < R < \infty$ , можно использовать для уточнения адиабатических оценок уровней энергии слабосвязанных состояний  $d\mu$  и  $d\bar{\mu}$ , выполненных в стандартном базисе при фиксированном числе состояний.

Аналогичное утверждение было сформулировано при сравнительном анализе вариационных и адиабатических расчетов в обзоре<sup>[6]</sup>. Напомним, что для оценки ошибок решения задачи с фиксированной системой эффективных потенциалов в оригинальной работе<sup>[10]</sup> был выполнен многопараметрический анализ точности решения исходной задачи. Так для оценки сходимости адиабатического разложения были проведены серии расчетов при различных  $N \leq 884$ . Использовались экстраполяции по параметрам  $N \rightarrow \infty$ ,  $k_{min} \rightarrow 0$  и по параметрам  $R_{max} \rightarrow \infty$ ,  $\Delta R \rightarrow 0$ ,  $k_{max} \rightarrow \infty$ ,  $\Delta k \rightarrow 0$ . Однако экстраполяция энергии слабосвязанных состояний  $d\mu$  и  $d\bar{\mu}$  от  $S_{max} = (l, m)$  проводилась при значениях  $R_m \gg R_0$  границы области действия эффективного потенциала, где свойство локальной полноты стандартного базиса при выбранных значениях  $S_{max} \sim kR$  не выполнялось. Значение  $S_{max}$  выбиралось из условия локальной полноты в области  $R \leq R_0$  действия эффективного потенциала  $V(R, M)$ <sup>[15]</sup>. Для того, чтобы грубо оценить допущенную погрешность с помощью изложенной выше схемы уточнения, достаточно принять во внимание отличие в эффективной массе  $\sim 1\%$  в области  $R_0 \leq R < \infty$ . Тогда мы можем оценить соответствующие погрешности  $-\varepsilon_{11}(d\mu) = 0.019$  эВ и  $-\varepsilon_{11}(d\bar{\mu}) = 0.006$  эВ, которые составляют  $\sim 1\%$  от полученных ранее<sup>[10]</sup>. Это замечание *a posteriori* подтверждает приведенные выше оценки точности адиабатических расчетов.

### 5. Заключение

Представленный подход обобщает различные адиабатические представления в задаче трех тел. В его рамках интерпретировано предсказание существования слабосвязанного состояния  $d\bar{\mu}$ -мезомолекулы, и устранено расхождение между вариационными и адиабатическими расчетами. Перспективы применения связаны с расчетами процессов рассеяния и перезарядки мезоатомов на ядрах изотопов водорода. В сравнении со стандартными громоздкими многоканальными адиабатическими расчетами с  $N \gg N_0$  даже эффективное двухуровневое приближение  $N = N_0 = 2$  на стандартной базе  $R \in B$  может обеспечить точность расчетов сечений мезоатомных процессов  $\sim 10\%$ , вполне достаточную для описания экспериментальных данных.

## Литература

1. С.И.Виницкий, Л.И.Пономарев, И.В.Пузынин, Т.П.Пузынина, Л.Н.Сомов, М.П.Файфман. ЖЭТФ, 1978, т.74, с.849.
2. Л.И.Пономарев, И.В.Пузынин, Т.П.Пузынина. JINR Report P4-3884, Dubna, 1975; J.Comput.Phys. 1976, v.22, p.125.
3. Л.И.Пономарев, С.И.Виницкий, Ф.Р.Вукайлович. JINR Report P4-12018 Dubna, 1978; J.Phys.B. 1980, v.13, p.847.
4. К.А.Макаров, Ю.А.Куперин, В.С.Павлов, В.М.Дубовик, В.Л.Марковский, С.И.Виницкий. FUB-HEP/87-11, Report Frien Universitat, Berlin, Germany, 1987.
5. Ю.А.Куперин, Ю.Б.Мельников. Математические заметки, 1990. Т. 182, N 2, с.236.
6. И.В.Пузынин, С.И.Виницкий. Muon Catalyzed Fusion, 1988, v.3, p.307.
7. Л.И.Пономарев, Л.Н.Сомов, М.П.Файфман. ЯФ, 1979, т.29, вып. I, с.133.
8. В.И.Коробов, И.В.Пузынин, С.И.Виницкий. Phys. Lett. B., 1987, v.96, p.272; JINR Report E4-91-288, Dubna, 1991.
9. Г.А.Аissing, H.J.Monkhorst, Yu.V.Petrov. Phys.Rev. A. 1990, v.42, N 11, p.6894.
10. А.Д.Гочева, В.В.Гусев, В.С.Мележик, Л.И.Пономарев, И.В.Пузынин, Т.П.Пузынина, Л.Н.Сомов, С.И.Виницкий. Phys. Lett. B, 1985, v.153, N 6, p.349.
- II. В.С.Мележик, Л.И.Пономарев, М.П.Файфман. ЖЭТФ, 1983, т.58, 254.
- I2. L.Bracci, C.Chiccoli, R.Pasini, G.Fiorentini, V.S.Melezhik, J.Wozniak. Nuovo Cimento B, 1990, v.195. N 4, p.459.
- I3. L.Foldy and S.Wouthysen. Phys.Rev. 1950, v.78, p.29.
- I4. С.И.Виницкий, И.В.Пузынин, Ю.С.Смирнов. ЯФ 1990, т.52, вып.4(10), с.1176.
- I5. С.И.Виницкий, В.С.Мележик, Л.И.Пономарев. ЖЭТФ, 1982, т.79, вып. 3(9), с.698.  
Рукопись поступила в издательский отдел  
3 апреля 1992 года.

Виницкий С.И., Пузынин И.В., Пузынина Т.П. P4-92-152  
Простое эффективное адабатическое представление  
в задаче трех тел и моделирование перехода  
квазистационарного состояния  
в слабосвязанное для  $dt\mu$ -мезомолекулы

Представлен эффективный адабатический подход к  
анализу трехчастичных взаимодействий, позволяющий да-  
же в простом двухуровневом приближении отразить все  
качественные особенности мезоатомных резонансных реак-  
ций и получить хорошее количественное согласие с раз-  
личными трудоемкими расчетами.

Работа выполнена в Лаборатории вычислительной тех-  
ники и автоматизации ОИЯИ.

Препринт Объединенного института ядерных исследований. Дубна 1992

Vinitsky S.I., Puzynin I.V., Puzynina T.P. P4-92-152  
Simple Effective Adiabatic Representation  
for Three-Body Problem and Modelling the  
Transition of Quasistationary State in  
Weakly Bound State for  $dt\mu$  Mesic Molecule

The effective adiabatic approach to analysis of  
three-particle interaction is presented. It gives  
possibility to represent even in a simple two-level  
approximation all quality peculiarities of mesic ato-  
mic resonance reactions and to obtain good quantitati-  
ve agreement with different cumbersome calculations.

The investigation has been performed at the Labo-  
ratory of Computing Techniques and Automation, JINR.